Theoretische Physik

Fortgeschrittene Statistische Physik

PHY-BTP3

Nach der Vorlesung von Prof. Dr. Kroy (Universität Leipzig)

Katharina Tholen

2016

Dies ist eine private Zusammenfassung der Vorlesungsmitschrift. Jegliche Form der Veröffentlichung ist ausdrücklich untersagt!

Inhaltsverzeichnis

1	Mat	thematik
	1.1	Zentraler Grenzwertsatz
	1.2	Wahrscheinlichkeit eines Subsystems
	1.3	Deltafunktion
	1.4	e-funktion
	1.5	Laplacetransformation
	1.6	Funktional-Ableitung
	1.7	Volumen n-dim Kugel
	1.8	Satz von Cavaleri
	1.9	Faltungs-Theorem
	1.10	Fouriertransformation
2	WH	I:letztes Semester
	2.1	Statistik
	2.2	Ideales Gas
3	Qua	antengase 8
	3.1	Kinematik
	3.2	Statistik
	3.3	Bose-Einstein-Kondensation
	3.4	Entartetes Fermigas
	3.5	Sommerfeldentwicklung für Fermigas
	3.6	3. Hauptsatz für Quantengase
	3.7	Klassischer Limes und Austauschwechselwirkung
4	Wed	chselwirkende Vielteilchen-Systeme 14
-	4.1	Definitionen
	4.2	Paarkorrelation und konstitutive Relationen
	4.3	Gase und Virial-Entwicklung
	1.0	4.3.1 Virial-Entwicklung
		4.3.2 Potential der mittleren Kraft
		4.3.3 Ornstein-Zernike Integral-Gleichung
	4.4	Thermodynamische Störungstheorie und Fluktuations-Dissipations-Theorem
	1.1	4.4.1 Thermodynamik
		4.4.2 Dichte-Funktional-Theorie
		4.4.3 Fluktuations-Response-Theorem
		4.4.4 Störungstheorie
	4.5	Dichte-Funktional-Theorie
	1.0	4.5.1 Geringfügig inhomogenes Flüssigkeiten

5	Kri	ische Phänomene	2 4
	5.1	Landau Theorie	25
		5.1.1 Skalenhypothese	26
	5.2	Landau-Ginsburg Theorie	26
		5.2.1 Phasengrenzflächen:	27
		5.2.2 Korrelationsfunktion	28
		5.2.3 Ginsburg Kriterium	29
	5.3	Ising-Modell	29
		5.3.1 Dimension $d=2$	30
		5.3.2 Dimension $d = 1$	32
	5.4	Renormalisierungsgruppe	33
		5.4.1 Ising (d=1)	33
6	Sto	hastische Thermodynamik	35
	6.1	Einstein	35
		6.1.1 Schritt 1: Statische Kraft-Balance	35
		6.1.2 Schritt2: Thermodynamik von Flüssen	35
			35
	6.2	Langevin Gleichung	36
		6.2.1 Fluktuation-Dissipation & Green-Kubo Relationen	36

1. Mathematik

- $\frac{d}{dx} \tanh x = \cosh^{-2} x$
- Integrale:

$$\int\limits_{-\infty}^{\infty} \exp\left[\beta \vec{p}^{\,2}\right] \mathrm{d}^{N} \vec{p} = \sqrt{\frac{\pi^{N}}{\beta^{N}}}$$

• Integral über Relativ
koordinaten: $\vec{R}=\frac{\vec{r_1}*\vec{r_2}}{2}$ mit $d\vec{R}d(\vec{r_2}-\vec{r_1})=d\vec{r_1}d\vec{r_2}$

$$\int \frac{d^N \vec{r}}{V^N} \delta(\vec{r} - (\vec{r_2} - \vec{r_1})) = \int \frac{d\vec{R} d\vec{r_{12}} d^{N-2} \vec{r}}{V^N} \delta(\vec{r} - \vec{r_{12}}) = \frac{1}{V}$$

• Stirlingformel:

$$ln(n!) \approx n \cdot ln(n) - n \approx ln(n)$$

• geometrische Reihe:

$$\sum_{i=1}^{N-1} x^i = \frac{1 - x^N}{1 - x}$$

$$\sum_{i=1}^{N\infty} x^i = \frac{1}{1-x}$$

für |x| < 1

• Gamma-Funktion:

$$\Gamma(a) = \int_0^\infty x^{a-1} e^{-x} dx$$

• Zeta-Funktion:

$$\zeta(s) = \sum_{n=1}^{\infty} \frac{1}{n^s}$$

ullet Integral approximation:

$$g\sum_{\vec{n}} = g\int d^d n = g\frac{V}{(2\pi)^d}\int d^d k = g\frac{V}{(2\pi)^d}\cdot\frac{2\pi^{d/2}}{\Gamma(d/2)}\int dk k^{d-1} = \int_{\epsilon_0}^{\infty}g(\epsilon)d\epsilon$$

1.1 Zentraler Grenzwertsatz

- $\bullet \ X_1, X_2, ..., X_N$ unabhängige Zufallsgrößen
- $w(X_1), w(X_2), ..., w(X_N)$ Wahrscheinlichkeitsverteilungen
- $Y = \sum_{i} X_{i}$
- $w(Y) \approx \frac{1}{\sqrt{2\pi N(\Delta X)^2}} e^{-\frac{(Y \langle x \rangle N)^2}{2N(\Delta X)^2}}$

 \Longrightarrow Wahrscheinlichkeitsdichte geht für $N\to\infty$ gegen Gaussverteilung

- $\langle Y \rangle = N \langle X \rangle$
- $\frac{\Delta Y}{\langle Y \rangle} = \frac{\Delta X}{\langle X \rangle \sqrt{N}} \propto \frac{1}{\sqrt{N}} \Longrightarrow$ Für große N wird Y sehr scharf

1.2 Wahrscheinlichkeit eines Subsystems

$$P(B) = \sum_{A} P(A; B)$$

1.3 Deltafunktion

$$\int dx g(x) \delta(f(x) - a) = \sum_{nullstellen} \frac{1}{|\partial_x f(x_i)|} \int dx \delta(x - x_i - a) g(x) = \sum_{nullstellen} \frac{g(x_i + a)}{|\partial_x f(x_i)|}$$

$$1 = \int d\vec{r}' \int d\vec{r}'' \delta(\vec{r}' - \vec{r_i}) \delta(\vec{r}'' - \vec{r_j})$$

1.4 e-funktion

$$(1+\frac{x}{N})^N \xrightarrow{N\to\infty} e^x$$

1.5 Laplacetransformation

$$\mathcal{L}[g](s) = G(s) = \int_{0}^{\infty} g(t)e^{-st}dt$$

1.6 Funktional-Ableitung

$$\int \frac{\delta F[\rho(x)]}{\delta \rho(x)} \psi(x) dx = \frac{d}{d\epsilon} [\rho + \epsilon \psi] \bigg|_{\epsilon=0}$$
(1.1)

• Funktional: $F[\psi] = \psi(\vec{r}')$

$$\frac{\delta F[\psi(\vec{r}')]}{\delta \psi(\vec{r})} = \delta(\vec{r} - \vec{r}') \tag{1.2}$$

• Kettenregel: $F[\psi] = \int d\vec{r}' V(\vec{x}\psi(\vec{r}'))$

$$\frac{\delta F[\psi(\vec{r}')]}{\delta \psi(\vec{r})} = \frac{\partial V(\vec{x}, \psi(\vec{r}))}{\partial \psi(\vec{r})} \tag{1.3}$$

• Produktregel: $F[\psi] = G[\psi]H[\psi]$

$$\frac{\delta F[\psi(\vec{r}')]}{\delta \psi(\vec{r})} = G[\psi] \frac{\delta H[\psi(\vec{r}')]}{\delta \psi(\vec{r})} + \frac{\delta G[\psi(\vec{r}')]}{\delta \psi(\vec{r})} H[\psi]$$
(1.4)

• Funktional: $F[\psi] = \int d\vec{r}' V(\vec{x}, \vec{r}') \psi(\vec{r}')$

$$\frac{\delta F[\psi(\vec{r}')]}{\delta \psi(\vec{r})} = V(\vec{x}, \vec{r}) \tag{1.5}$$

• Funktional: $F[\psi] = \int d\vec{r}' (\nabla \psi(\vec{r}'))^2$

$$\frac{\delta F[\psi(\vec{r}')]}{\delta \psi(\vec{r})} = -2\nabla^2 \psi(\vec{r}) \tag{1.6}$$

• Freie Energie:

$$\frac{\delta F[n(\vec{r})]}{\delta n(\vec{r})} = J[\mu(\vec{r})] + \int d\vec{r}' \mu(\vec{r}') \frac{\delta n(\vec{r})}{\delta n(\vec{r}')} = \mu(\vec{r})$$
(1.7)

1.7 Volumen n-dim Kugel

$$V_N = \frac{\pi^{N/2}}{\Gamma(\frac{N}{2} + 1)} R^N \tag{1.8}$$

1.8 Satz von Cavaleri

$$V_n = \int_{-R}^{R} V_{n+1} \left((R^2 - x_n^2)^{1/2} \right) dx_n \tag{1.9}$$

1.9 Faltungs-Theorem

$$\mathcal{F}(f * g) = (2\pi)^{\frac{n}{2}} \mathcal{F}(f) \mathcal{F}(g) \tag{1.10}$$

$$\mathcal{F}(f) * \mathcal{F}(g) = (2\pi)^{\frac{n}{2}} \mathcal{F}(fg) \tag{1.11}$$

1.10 Fouriertransformation

$$f_{\vec{k}} = \frac{1}{\sqrt{V}} \int d^d \vec{r} f(\vec{r}) e^{-i\vec{k}\vec{r}}$$

$$\tag{1.12}$$

$$f(\vec{r}) = \frac{1}{\sqrt{V}} \sum_{\vec{i}} f_{\vec{k}} e^{i\vec{k}\vec{r}}$$

$$\tag{1.13}$$

$$\delta_{\vec{k},\vec{k}'} = \frac{1}{V} \int d^d \vec{r} e^{-i(\vec{k}-\vec{k}')\vec{r}} \to \frac{(2\pi)^d}{V} \delta(\vec{k}-\vec{k}')$$
 (1.14)

$$\delta(\vec{r} - \vec{r}') = \frac{1}{V} \sum_{\vec{r}} e^{+i(\vec{r} - \vec{r}')\vec{k}}$$
(1.15)

WH:letztes Semester

Response-Koeffizienten
$$\chi_{i,j}^{-1} = x_i \partial_{x_i} \xi_j = x_i \partial_{x_i} \partial_{x_j} y, \ m^2 \text{ Stück}$$

Wärmekapazität

Kompressibilität

$$\begin{split} C_x &= \left(\frac{\delta Q}{\mathrm{d}T}\right)_x, x \in \{p, V\} \text{ rein thermisch} \\ C_p &= T\left(\frac{\partial S}{\partial T}\right)_{p, N} = \left(\frac{\partial H}{\partial T}\right)_{p, N} \\ C_V &= T\left(\frac{\partial S}{\partial T}\right)_{V, N} = \left(\frac{\partial U}{\partial T}\right)_{V, N} \\ \kappa_x &= V^{-1} \left(\frac{\partial p}{\partial V}\right)_x^{-1}, \ x \in \{S, T\} \text{ rein mech.} \\ \alpha &= V^{-1} \left(\frac{\partial V}{\partial T}\right)_{p, N} \\ \alpha &= p^{-1} \left(\frac{\partial p}{\partial T}\right)_{V, N} \end{split}$$
Thm. Ausdehnungs-Koeff.

Isobarer Ausdehnungs-Koeff.

• Thermodynamische Potentiale

$$-Y(X) \rightarrow Z(A) = Y - AX$$
$$-dZ = dY - AdX - XdA = -XdA$$

- Freie Energie

$$F(T, V, N) = U - TS = \mu N - pV$$
$$dF = -SdT - pdV + \mu dN$$

- Enthalpie

$$H(S, p, N) = U + pV$$

$$dH = TdS + Vdp + \mu dN$$

- Gibbsche Freie Enthalpie

$$G(T, p, N) = H - TS = U + pV - TS = \mu N$$

$$dG = -SdT + Vdp + \mu dN$$

- Großkanonisches Potential

$$J = U - Ts - \mu N = -pV$$

2.1 Statistik

• Phasenraum:

$$d\Gamma = \frac{\prod_{i=1}^{N} d\vec{q_i} d\vec{p_i}}{N!h^d}$$

• kanonisches Ensemble

- Zustandsumme

$$Z_{kan}(\beta, V, N) = \int d\Gamma e^{-\beta \mathcal{H}} = \int_{E} dE \cdot g(E) \cdot e^{-\beta \mathcal{H}} = \frac{1}{N! \lambda_{T}^{3N}} \int d^{N} \vec{r} e^{-\beta V(\vec{r_{i}})}$$

- Erwartungswert

$$\langle A \rangle = \int d\Gamma A \cdot \varrho$$

- Phasenraumvolumen

$$\Gamma(E, V, N) = \int d\Gamma \Theta(E - \mathcal{H})$$

- Zustandsdichte

$$g(E) = \int d\Gamma \delta(E - \mathcal{H}) = \frac{d\Gamma}{dE}$$

- Energieverteilung

$$w(E) = \langle \delta(E - \mathcal{H}) \rangle = \frac{g(E)}{Z} \cdot e^{-\beta \mathcal{H}}$$

- Freie Energie $F = -\frac{1}{\beta}ln(Z)$
- Energie $U = -\frac{\partial}{\partial \beta} lnZ$
- Entropie $S(T,V,N) = \frac{\langle \mathcal{H} \rangle}{T} + k_B ln Z(T,V,N) = -\partial_T F = k_B \frac{\partial}{\partial T} (T ln Z)$
- Druck $p = -\partial_V F = \frac{1}{\beta} \frac{\partial}{\partial V} lnZ$

• großkanonisches Ensemble

- Fugazität:

$$z = e^{\beta \mu} \tag{2.1}$$

- Zustandsumme

$$Z_G = \sum_{N=0}^{\infty} \int d\Gamma e^{-\beta(H-\mu N)} = \sum_{N=0}^{\infty} z^N Z_{kan}(\beta, V, N)$$

- Erwartungswert

$$\langle A \rangle = \frac{\sum_{N=0}^{\infty} \int \mathrm{d}\Gamma N e^{-\beta(H-\mu N)}}{Z_G}$$

- Teilchenzahl:

$$\langle N \rangle = \partial_{\beta\mu} ln(Z_G) = z \partial_z ln(Z_G)$$

- Fundamental relation

$$pV = -J(T, V, \mu) = k_B T ln(Z_G(T, V, \mu))$$

• isotropes System:

$$Z(dim = 3) = (Z(dim = 1))^3$$

• Energie:

$$\frac{\langle E \rangle}{N} = \int_0^\infty g(\epsilon) n(\epsilon) \epsilon d\epsilon \tag{2.2}$$

• Teilchendichte:

$$\langle n \rangle = \frac{\langle N \rangle}{V} = \int_0^\infty g(\epsilon) n(\epsilon) d\epsilon$$
 (2.3)

2.2 Ideales Gas

• thermische Wellenlänge: $\lambda_T = \frac{h}{\sqrt{2\pi m k_B T}}$

• Zustandssumme: $Z = \frac{1}{N!} \left(\frac{v}{\lambda_T^3} \right)^N$

 • Freie Energie: $Nk_BT(ln(\lambda_T^3n)-1)$ $Z(N)=\frac{Z(1)^N}{N!}$

• Entropie: $s = \frac{u}{T} + \frac{p}{T}v - \frac{\mu}{T}n = k_B ln(u^{3/2}v)$

 \bullet Innere Energie: $U=\frac{3}{2}Nk_BT$

• Druck: $p = nk_BT$

• Wärmekapazität: $C_V = \frac{3}{2}k_B$

• Fugazität: $z=Z(1)^{-1}=n\lambda_T^3<<1$

3. Quantengase

nichtrelativistische Fermionen und Bosonen, deren Wechselwirkungen vernachlässigt werden, Quasiteilchen in kondensierter Materie und relativistische Quanten, insbesondere Photonen

Bedingung: $n\lambda_T^3 \ge 1 \text{ mit } \lambda_T = \frac{h}{\sqrt{2\pi m k_B t T}}$

- Schrödingergleichung: $i\hbar\frac{d}{dt}|\Psi\rangle=\hat{H}|\Psi\rangle$
- Darstellung über Orthonormalsystem: $|\Psi\rangle = \sum_n c_n |n\rangle$ mit $c_n = \langle n|\Psi\rangle$
- Komplette Basis: $\langle n|m\rangle=\delta$ und $\mathbbm{1}=\sum_n|n\rangle\langle n|$
- Ehrenfestgleichung: $\frac{d}{dt}\langle\hat{O}\rangle=\frac{i}{\hbar}\langle\left[\hat{H},\hat{O}\right]+\frac{\partial\hat{O}}{\partial t}$

3.1 Kinematik

- Hamiltonoperator: $\hat{\mathcal{H}} = \sum_{i} \frac{\hat{p_i}}{2m}$
- Einteilchenfunktionen im Ortsraum (in Volumen V, periodische Randbedingungen): $\langle \vec{r} | \vec{p} \rangle = e^{\frac{i\vec{p}\vec{r}}{\hbar}}$
- Impulsquantenzahlen: $\vec{p}=\hbar\pi V^{-\frac{1}{d}}(\nu_1,\nu_2,...,\nu_d)$
- \bullet Einteilchen
energie: $E_k = \frac{\vec{p}^2}{2m}$
- Integral-Approximation: $\sum_k n_k \to \int d\epsilon g(\epsilon) n(\epsilon)$

$$\mathfrak{g} = \begin{cases} -2 & \text{Photonen} \\ d & \text{Phononen} \\ 2 & \text{Elektronen} \end{cases}$$
 (3.1)

$$\tau = \begin{cases} -2 & \text{massiv} \\ 1 & \text{masselos} \end{cases}$$
 (3.2)

3.2 Statistik

$$\delta = \begin{cases} -1 & \text{Bosonen} \\ 1 & \text{Fermionen} \\ 0 & \text{klassischer Limes} \end{cases}$$

- \bullet von Neumann-Gleichung: $i\hbar\frac{d}{dt}\hat{\rho}(t)=\left[\hat{H},\hat{\rho}(t)\right]$
- Phasenraum dichte: $\hat{\rho} = \sum_n p_n |n\rangle \langle n|$
- kanonisches Ensemble: $\hat{\rho} = \frac{1}{Z} \exp^{-\beta \hat{H}}$ und $p_n = \langle n|\hat{\rho}|n\rangle = \frac{1}{Z} \exp^{-\beta E_n}$
- kanonische Zustandssumme: $Z = tr(\exp^{-\beta \hat{H}}) = \sum_n \exp^{-\beta E_n}$
- Ununterscheidbarkeit der Teilchen Basissystem der N-Teilchenzustände:

$$|p_1, p_2, ..., p_N\rangle = \mathcal{N} \sum_{\mathbb{P}} (-\delta)^{\mathcal{P}} \mathcal{P} |\vec{p}_{\mathcal{P}_1}\rangle |\vec{p}_{\mathcal{P}_2}\rangle ... |\vec{p}_{\mathcal{P}_N}\rangle$$

Fermionen: Slaterdeterminate, Pauliprinzip

- Besetzungszahlenbasis: $|p_i\rangle \rightarrow |n_{\vec{k}}\rangle$
- Bedingung: $N = \sum_{k} n_k$
- Energie: $E(n_k) = \sum_k n_k \epsilon_k$
- Großkanonische Zustandssumme:

$$Z_G = \sum_{N=0}^{\infty} \sum_{n_k} e^{-\beta(E(n_k) - \mu N)} = \sum_{n_k} e^{-\beta \sum_k n_k (\epsilon_k - \mu)}$$
$$= \prod_k \sum_{n_k} e^{-\beta n_k (\epsilon_k - \mu)} = \prod_k (1 + \delta e^{-\beta(\epsilon_k - \mu)})^{\frac{1}{\delta}}$$

Achte auf die Konvergenz! $(\mu \to 0)$

- Bosonen: $\mu < \epsilon_k$ (sonst konvergiert die Summe nicht)
- klassischer Limes: $\delta \to 0$: $(1 + \delta e^{-\beta(\epsilon_k \mu)})^{\frac{1}{\delta}} \to e^{e^{-\beta(\epsilon_k \mu)}}$
- Fundamental relation:

$$pV = -J = \beta^{-1} ln(Z_G) = \frac{k_B T}{\delta} \sum_{k} ln(1 + \delta e^{-\beta(\epsilon_k - \mu)}) = \frac{\tau}{d} \int d\epsilon g(\epsilon) n(\epsilon) \epsilon$$

Durch Integral-Approximation: $p=\frac{\tau}{d}u$ (auch für Kondensation gültig: ϵ in Integral killt $\frac{n(\epsilon_0)}{V}$)

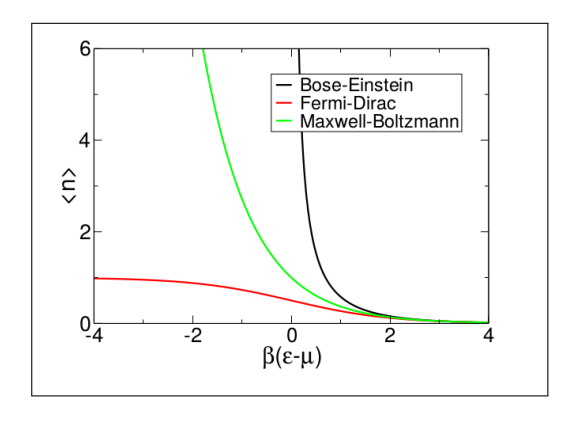
• mittlere Teilchenanzahl

$$n \cdot V = \langle N \rangle = \frac{\partial ln Z_G}{\partial \beta \mu} = \sum_k \langle n_k \rangle$$

Man kann daraus $\mu(\langle N \rangle)$ entwickeln (Sommerfeld-Entwicklung)

• Verteilung:

$$n(\epsilon_k) = \langle n_k \rangle = \frac{\partial J}{\partial \epsilon_k} = \frac{1}{e^{\beta(\epsilon_k - \mu)} + \delta}$$



• Innere Energie

$$U = \sum_{k} \epsilon_k \langle n_k \rangle = \frac{d}{\tau} PV$$

• Obervablen:

$$\langle \hat{A} \rangle = V \int_0^\infty d\epsilon g(\epsilon) n(\epsilon) \hat{A}$$

- Integrale: Fermi-Dirac-Funktion, Bose-Einstein-Funktion (siehe Bild) Bose-Integral: $\mu=0 \to$ Funktion geht in Zeta-Funktion über.
- Lösungen:

$$\delta = \begin{cases} \mathfrak{g} f_{5/2}(z)/\beta \lambda_T^3 & \text{massive Fermionen} \\ \mathfrak{g} g_{5/2}(z)/\beta \lambda_T^3 & \text{massive Bosonen} \\ \mathfrak{g} \frac{\pi^2 (k_B T)^4}{45(\hbar c)^3} & \text{masselose Bosonen (Welle)} \end{cases}$$

3.3 Bose-Einstein-Kondensation

- $\delta = -1$, $\tau = 2$, $\mathfrak{g} = 3$
- Teilchendichte/Temperatur ist begrenzt (Bild):

$$n = \frac{\langle N \rangle}{V} = \int_0^\infty d\epsilon g(\epsilon) n(\epsilon) = \frac{g_{3/2}(z)}{\lambda_T^3}$$
 (3.3)

$$\Rightarrow n\lambda_T^3 \le g_{3/2}(1) = \zeta(3/2)$$
 (Zetafunktion) für $\mu = 0$

 \Rightarrow Man kann T nicht zu klein und
n nicht zu groß in dieser Aproximation wählen, danach gibt es Konvergenzproblem
e \Rightarrow Definition von T_c und
 n_c

• Grundzustand:

$$n(\epsilon \to \epsilon_0) \approx \frac{k_B T}{\epsilon_0 - \mu} \approx O(V), O(N)$$

 \Rightarrow extensive Besetzung eines Summengliedes \Rightarrow Konvergenz: $n(\epsilon_0)$ muss aus \sum ... genommen werden, bevor es in ein Integral übergeht

• Korrektur für $\mu = 0$ $(T \le T_c \approx \mu K, n \ge n_c = \frac{\zeta_(3/2)}{\lambda_{T_c}^3})$:

$$n = \int_0^\infty d\epsilon g(\epsilon) n(\epsilon) + \frac{n(\epsilon_0)}{V} = \frac{\zeta(3/2)}{\lambda_T^3} + \frac{n(\epsilon_0)}{V}$$
 (3.4)

• Ordnungsparameter (Bild):

$$\Psi = \frac{n(\epsilon_o)}{nV} = \begin{cases} 0 & \text{für } T \ge T_c, n \le n_c \\ 1 - (\frac{T}{T_c})^{3/2} = 1 - \frac{n_c}{n} & \text{für } T \le T_c, n \ge n_c \end{cases}$$

- ⇒ Kondensation im Impulsraum
- Thermodynamik: Für $T < T_c$ ist die Thermodynamik ist alles proportional zum idealen Gas mal der "normal fraction".
 - "normal fraction": $n_n = n(1 \Psi)$

 - Impuls: $p = \frac{2}{3}u = 0.51n_nk_BT = 0.51k_BT = 0.51nk_BT(\frac{T}{T_c})^{3/2}$ horizontale isotherme mit wert p_c im p-v-Diagramm für $T \leq T_c$ (Bild)

$$\begin{aligned} p_c &= p(T, n = n_c) \propto (k_B T)^{5/2} \text{ Bild} \\ p_c &= p(T = T_c, n) \propto n^{5/3} \end{aligned}$$

$$p_c = p(T = T_c, n) \propto n^{5/3}$$

- \rightarrow Druck ist abhängig von T,n an ein Maximum p_c gebunden
- Wärmekapazität (Bild): $nC_v = 1.9n_n k_B$
- Experiment: "time-of-flight" Messung

3.4 **Entartetes Fermigas**

- $\delta = 1$, $\tau = 2$, d = 3
- Fermi-Verteilung Bild: $n(\epsilon) = \frac{1}{e^{\beta(\epsilon-\mu)}+1}$
- Teilchendichte: $n = \int_0^\infty d\epsilon g(\epsilon) n(\epsilon) = \mathfrak{g} \frac{f_{3/2}(z)}{\lambda^3}$
- Teilchenerhaltung (??)Bild: $\mu \leq \epsilon_F$
- "Tieftemperaturen" $(T < 10^5 K)$: $T \to 0$, $\mu = \epsilon_F$
 - $-n(\epsilon) \to \Theta(\epsilon_F \epsilon)$
 - $n = \Gamma(\epsilon_F) = \int_0^{\epsilon_F} g(\epsilon) d\epsilon \propto \epsilon_F^{d/\tau}$ $\to \Gamma(\epsilon) V = N$

 - \rightarrow Impulsraumvolumen \approx Phasenraumvolumen \approx Teilchenzahl N \approx Zustandzahl

 - Druck: $p_0 = \frac{\tau}{d} u_0 = \frac{\tau}{d} \int_0^{\epsilon_F} g(\epsilon) \epsilon d\epsilon \propto n^{5/3}$ Ist von unten beschränkt (Beim Bosegas von oben beschränkt)
 - Entropie (3.Gesetz der Thermodynamik): $Ts_0 = u_0 + p_0 n\epsilon_0 = 0$
 - \rightarrow Kondensat enthält keine Entropie (für $T\rightarrow 0$ wie beim Bosegas)
 - \rightarrow für finite T: $Ts = u + p n\mu = O(T^2)$ (aus Sommerfeldentwicklung

3.5 Sommerfeldentwicklung für Fermigas

- Berechnung von $\mu(T), p(T), u(T)$
- partielle Integration:

$$n = \int_0^\infty d\epsilon g(\epsilon) n_\mu(\epsilon) = \Gamma(\epsilon) n_\mu(\epsilon) \Big|_0^\infty - \int_0^\infty d\epsilon \Gamma(\epsilon) \delta_\epsilon n_\mu(\epsilon)$$
 (3.5)

• Ableitung von $n_{\mu}(\epsilon)$: $\delta_{\epsilon}n_{\mu}(\epsilon) = -\beta \frac{e^{\beta(\epsilon-\mu)}}{(e^{\beta(\epsilon-\mu)}+1)^2}$ nahe an Deltafunktion

• Taylerentwicklung von Γ in der Nähe von $\mu \neq \epsilon_F$ mit $x = \beta(\epsilon - \mu)$

$$\Gamma(\epsilon) = \Gamma(\mu) + [linear] + \frac{1}{2!} \delta_{\epsilon} g(\epsilon) \Big|_{\epsilon = \mu} (\epsilon - \mu)^2 + O(\epsilon^3)$$
(3.6)

$$\Rightarrow n = \int_0^\infty \frac{e^x}{(e^x + 1)^2} \Gamma(\mu + xk_B T) dx = \Gamma(\mu) n(0) - \frac{1}{2!} \delta_{\epsilon} g(\epsilon) \bigg|_{\epsilon = \mu} \int_0^\infty d\epsilon (\epsilon - \mu)^2 \delta_{\epsilon} n_{\mu}(\epsilon)$$
 (3.7)

• ungerade Potenzen verschwinden wegen der Symmetrie von $\delta_{\epsilon} n_{\mu}(\epsilon)$

$$\epsilon_F^{d/\tau} \propto n = \Gamma(\mu) - \frac{1}{2!} \delta_{\epsilon} g(\epsilon) \bigg|_{\epsilon = \mu} \frac{\pi^2}{3\beta^2}$$
 (3.8)

• chemisches Potential:

$$\mu = \epsilon_F \left[1 - \frac{\pi^2}{12} \left(\frac{k_B T}{\epsilon_F} \right)^2 \right] \tag{3.9}$$

$$\mu - \mu_0 = \frac{-\pi^2}{12} \frac{T}{T_F} k_B T \tag{3.10}$$

• Druck:

$$p - p_0 = \frac{\pi^2}{6} n_n k_B T \tag{3.11}$$

- "normal fraction": $n_n = n(1 \Psi) = n(\frac{T}{T_F})$
- Entropie:

$$Ts = u + p + n\mu = O(T^2) \Rightarrow s = O(T)$$
(3.12)

3.6 3. Hauptsatz für Quantengase

• Bosonen:

$$c_v \propto \begin{cases} T^{d/2} & \text{für "massiv"} \tau = 2\\ T^d & \text{für "masselos"} \tau = 1 \end{cases}$$
 (3.13)

• Fermionen:

$$c_v = k_B \frac{\pi^2}{2} \frac{T}{T_E} \tag{3.14}$$

3.7 Klassischer Limes und Austauschwechselwirkung

- Bedingung: $n\lambda_T^3 \to 0$
- Phasenraum volumen: $\Gamma >> N \Rightarrow$ Kontinuum-Approximation
- Zustandssumme über die Summe über (anti-)symmetrischen Produkt-Eigenzuständen:

$$Z = tr\left[e^{-\beta \hat{H}}\right] = \sum_{\vec{p_i}} \langle \vec{p_i} | e^{-\beta \sum_i \frac{p_i^2}{2m}} | \vec{p_i} \rangle$$
 (3.15)

mit den (anti-)symmetrischen Produkt-Eigenzuständen

- Zu beachten Anti-/ Symmetrie der Eigenfunktionen (siehe Permutationsfunktion)
- Approximation durch Integral

$$Z = \int \frac{d^{N}\vec{p}}{h^{3N}N!} \sum_{P} (-\delta)^{p} exp[-\beta \frac{p_{1}^{2}}{2m} - i\vec{p_{1}}(\vec{r_{1}} - \vec{r_{P_{1}}})/\hbar] exp[...] exp[-\beta \frac{p_{N}^{2}}{2m} - i\vec{p_{N}}(\vec{r_{N}} - \vec{r_{P_{N}}})/\hbar]$$

$$(3.16)$$

- Heranziehen der ersten Permutationsterme (nur für hohe T) bis quadratische Ordnung (siehe Virial-Entwicklung im kanonischen Ensemble)
 - \rightarrow nur zwei Partikel können getauscht werden.
 - \to ist möglich da die Wahrscheinlichkeit bei hohem T
 sehr niedrig ist, dass zwei (zu tauschende) Partikel in selben Volume
n λ_T^3 sind

$$Z = Z_{ig} \int \frac{d^{N} \vec{r_{N}}}{V^{N}} exp[-\beta \sum_{i < j} V_{eff}(\vec{r_{i}} - \vec{r_{j}})]$$
(3.17)

(3.18)

• Virial-Entwicklung:

$$Z \approx Z_{ig} (1 - \delta \frac{N(N-1)}{2} \int d^3 \frac{\vec{r}}{V} e^{-\frac{2\pi \vec{r}^2}{\lambda_T^2}})$$
 (3.19)

mit dem Statistischen Potential Bild:

$$V_{eff} = -k_B T ln \left[1 - \delta e^{-\frac{2\pi \pi^2}{\lambda_T^2}}\right]$$
 (3.20)

für Bosonen attraktiv und Fermionen repulsiv

- Quintessenz: Auf Semiklassischen Level (nur bei hohen T und niedrigen n!) verhalten sich Fermionen und Bosonen wie klassische Teilchen mit statistischen Potential
- Freie Energie:

$$\beta F = \beta F_{iq} + NBn \tag{3.21}$$

• Zweiter Virial Koeffizient: $B = \frac{\delta \lambda_T^3}{2^{5/2}}$

Wechselwirkende Vielteilchen-System 4.

4.1 Definitionen

• Paarwechselwirkungen: Einfaches Bild von realer Komplexität von Vielteilchensystemen

$$\mathcal{H} = \sum_{i} \frac{\vec{p_i}^2}{2m} + \mathcal{V}(\{\vec{r_i}\}) \tag{4.1}$$

mit
$$V(\{\vec{r_i}\}) = \sum_{i < j} \nu(\vec{r_i} - \vec{r_j})$$

- Paarkorrelation ("pair correlation"): (zweite Gleichung für ununterscheidbare Teilchen)
 - mikroskopische Dichte: $\hat{n}(\vec{r}) = \sum_{i} \delta(\vec{r} \vec{r_i})$
 - "one point" Funktion: $n(\vec{r}) = \langle \sum_i \delta(\vec{r} \vec{r_i}) \rangle = \langle N\delta(\vec{r} \vec{r_i}) \rangle$ \rightarrow homogenes System: $n(\vec{r}) = \frac{\langle N \rangle}{V} = const$
 - "two point" Funktion: $n(\vec{r'}, \vec{r''}) = \langle \sum_{i \neq j} \delta(\vec{r'} \vec{r_i}) \delta(\vec{r''} \vec{r_j}) \rangle = \langle N(N-1) \delta(\vec{r'} \vec{r_i}) \delta(\vec{r''} \vec{r_j}) \rangle$ \rightarrow homogenes System: $n(\vec{r'}, \vec{r''}) = n(\vec{r''} \vec{r'})$
- Paar-Korrelationsfunktion

$$g(\vec{r_1}, \vec{r_2}) = \frac{n(\vec{r_1}, \vec{r_2})}{n(\vec{r_1})n(\vec{r_2})} \tag{4.2}$$

• Radiale Verteilungsfunktion (siehe Bild):

$$g(\vec{r}) = \frac{V}{\langle N \rangle^2} \int d\vec{r}' n(\vec{r}' + \vec{r}, \vec{r}') = \frac{V}{\langle N \rangle^2} \langle \sum_{i \neq j} \delta(\vec{r} - \vec{r_i} + \vec{r_j}) \rangle = \frac{V}{\langle N \rangle^2} \langle N(N - 1)\delta(\vec{r} - \vec{r_2} + \vec{r_1}) \rangle$$
 (4.3)

- \rightarrow homogenes System ($\langle N \rangle = const$): $g(\vec{r}) = V \langle \delta(\vec{r} \vec{r_2} + \vec{r_1}) \rangle$
- \rightarrow isotropisches System: $g(\vec{r}) = g(|\vec{r}|)$
- (\sim Wahrscheinlichkeit, ein Partikel im Abstand r zu finden)
- \rightarrow Limes $n \rightarrow 0$: $g(r) \sim e^{-\beta V(r)}$
- Paar-Fluktuation ("pair fluctuation") (siehe Bild) für homogene Systeme:

$$h(\vec{r}) = g(\vec{r}) - 1 = \frac{1}{n^2} (\langle \hat{n}(\vec{r})\hat{n}(0)\rangle - \langle \hat{n}(0)\rangle^2)$$

$$(4.4)$$

- $\Rightarrow h(\vec{r}), q(\vec{r})$ beinhalten die Information zur Pack-Struktur von Atomen/Molekülen
- Strukturfaktor ("structure factor") (Youngs Prinzip)(siehe Bild) für homogene Systeme:

$$S_{\vec{q}} = \frac{1}{N} \langle \sum_{i,j} e^{i\vec{q}(\vec{r_i} - \vec{r_j})} \rangle = \frac{1}{\langle N \rangle} \int d\vec{r'} d\vec{r''} e^{-i\vec{q}(\vec{r'} - \vec{r''})} \langle \sum_{i,j} \delta(\vec{r'} - \vec{r_i}) \delta(\vec{r''} - \vec{r_j}) \rangle$$
(4.5)

$$= 1 + \frac{1}{\langle N \rangle} \int d\vec{r}' d\vec{r}'' e^{-i\vec{q}(\vec{r}' - \vec{r}'')} n(\vec{r}', \vec{r}'') = 1 + n \int d\vec{r} e^{-i\vec{q}(\vec{r})} g(\vec{r})$$
(4.6)

$$= 1 + (2\pi)^d n\delta(\vec{q}) + n \int d\vec{r} e^{i\vec{q}\vec{r}} h(\vec{r})$$
 (4.7)

 $\bullet \ \, \textbf{Fluktuations-Dissipations-Theorem:} \\$

$$S_{\vec{q}\to 0} = 1 + n \int d\vec{r} h(\vec{r}) \tag{4.8}$$

$$= \frac{1}{\langle N \rangle} \langle (N - \langle N \rangle)^2 \rangle = nk_B T \kappa_T \tag{4.9}$$

 \Rightarrow Phasenübergänge (siehe Bild):

Langreichweitige Korrelation \Leftrightarrow Große Fluktuationen $\Leftrightarrow \int d\vec{r}h(\vec{r})$ divergiert

4.2 Paarkorrelation und konstitutive Relationen

• Energie:

$$U = \langle H \rangle = \frac{3}{2} k_B T \langle N \rangle + \langle \mathcal{V}(\{\vec{r_i}\}) \rangle$$
 (4.10)

$$= \frac{3}{2}k_B T\langle N \rangle + \frac{1}{2}\langle N(N-1)\nu(\{r_{12}\})\rangle \tag{4.11}$$

$$= \frac{3}{2}k_BT\langle N\rangle + \int d\vec{r}\nu(\{\vec{r}\})\frac{1}{2}\langle N(N-1)\delta(\vec{r}-\vec{r}_{12})\rangle$$
 (4.12)

$$= \frac{3}{2}k_B T \langle N \rangle \left[1 + \frac{n}{3k_B T} \int d\vec{r} \nu(\{\vec{r}\}) g(\vec{r}) \right]$$
(4.13)

• Druck:

$$p = -\partial_V F = \frac{1}{\beta} \partial_V \ln(Z_{ig}Q) = nk_B T \left[1 - \frac{n}{6k_B T} \int d\vec{r} \vec{r} \nabla \nu(\{\vec{r}\}) g(\vec{r}) \right]$$
(4.14)

mit $Q(N) = \int \frac{d^N \vec{r}}{V^N} e^{-\beta \mathcal{V}(\{\vec{r_i}\})}$

4.3 Gase und Virial-Entwicklung

• Radiale Verteilungsfunktion (für $n \to 0$)

$$g(\vec{r}) \propto e^{-\beta\nu(\vec{r})}$$
 (4.15)

• 2. Virial-Koeffizient:

$$B(T) = -\frac{1}{2} \int d\vec{r} e^{-\beta\nu(\vec{r})} - 1 \tag{4.16}$$

• Energie (für $n \to 0$)

$$\frac{U}{3/2Nk_BT} = 1 - \frac{2nT}{3}\partial_T B(T) \tag{4.17}$$

• Druck (für $n \to 0$)

$$\frac{p}{nk_BT} = 1 + \frac{n}{6} \int d\vec{r} \vec{r} \nabla f(\vec{r}) = 1 + nB(T)$$

$$\tag{4.18}$$

• Freie Energie:

$$\beta F = \beta F_{ig} + NBn \tag{4.19}$$

4.3.1 Virial-Entwicklung

4.3.1.1 Großkanonisches Ensemble:

$$\frac{pV}{k_BT} = \ln Z_G = \ln \left(\sum_N Z(T, V, N) z^N \right)$$
(4.20)

mit Fugaztität: $z=e^{\beta\mu}$

$$\Rightarrow lnZ_G \approx ln(1 + Z(1)z + Z(2)z^2) \tag{4.21}$$

$$\approx Z(1)z + (2Z(2) - Z^{2}(1))\frac{z^{2}}{2}$$
(4.22)

mit $ln(1+x) \approx x - \frac{x^2}{2}$

• Teilchendichte:

$$\langle N \rangle = z \partial_z \ln Z_G \approx Z(1)z + (2Z(2) - Z^2(1))z^2 \tag{4.23}$$

• Kombination von N-Approximation mit z-Approximation (in zweiter Ordnung zu z):

$$\frac{pV}{k_BT} = N - (2Z(2) - Z^2(1))\frac{z^2}{2}$$
(4.24)

$$= N - nVN \frac{(2Z(2) - Z^2(1))}{(Z(1)z + \dots)^2} \frac{z^2}{2}$$
(4.25)

$$\frac{p}{nk_BT} = 1 + B(T)n + O(n^2) \tag{4.26}$$

mit
$$B(T)=-\frac{V}{2}\left[\frac{2Z(2)}{Z^2(1)}-1\right]=-\frac{V}{2}\left[Q(2)-1\right]=-\frac{1}{2}\int d\vec{r} f(\vec{r})$$
mit Konfigurationsintegral: $Q(2)=\int \frac{d^2\vec{r}}{V^2}e^{-\beta\mathcal{V}(\vec{r}_1,\vec{r}_2)}=\int \frac{d\vec{r}}{V}e^{-\beta\nu(\vec{r})}$ mit Mayer-Funktion: $f(\vec{r})=e^{-\beta\nu(\vec{r})}-1$

4.3.1.2 Kanonisches Ensemble:

$$Z = Z_{ig} \cdot Q = Z_{ig} \int \frac{d^N \vec{r}}{V^N} exp[-\beta \sum_{i < j} \nu(\vec{r_{ij}})]$$

$$(4.27)$$

(4.28)

mit
$$Q = \int \frac{d^N \vec{r}}{V^N} e^{-\beta V(\{\vec{r_i}\})} = \int \frac{d^N \vec{r}}{V^N} e^{-\beta \sum_{i < j} \nu(\vec{r_{ij}})}$$

• Definition:

$$f_{ij} = e^{-\beta\nu(\vec{r}_{ij})} - 1 \tag{4.29}$$

 \bullet Konfigurations-Integral:

$$Q = \int \prod_{1 < i < j < N} (1 + f_{ij}) \frac{d^{3N} r_i}{V^N}$$
(4.30)

• Cluster-Entwicklung:

$$\prod_{1 < i < j < N} (1 + f_{ij}) = 1 + \sum_{1 < i < j < N} f_{ij} + \sum_{i < j} \sum_{k < l} f_{ij} f_{kl} + \dots$$
(4.31)

• Approximation für kleine Dichten: Betrachte nur paarweise Wechselwirkung. \rightarrow Wahrscheinlichkeit, dass zwei Partikel nahe beieinander sind, ist gering, für 3 Partikel ist sie verschwindend gering $\rightarrow \prod_{1 < i < j < N} (1 + f_{ij}) \approx 1 + \sum_{1 < i < j < N} f_{ij}$

$$Q = 1 + \int \sum_{1 \le i \le j \le N} f_{ij} \frac{d^{3N} r_i}{V^N}$$
 (4.32)

• ununterschiedbare Teilchen:

$$Q = 1 + \frac{N(N-1)}{2} \int f_{12} \frac{d\vec{r}_{12}}{V}$$
 (4.33)

• kanonische Zustandssumme:

$$Z = Z_{ig} \cdot Q = Z_{ig} \left[1 + \frac{N(N-1)}{2V} \int e^{-\beta \nu(\vec{r})} - 1d\vec{r} \right]$$
 (4.34)

(4.35)

4.3.2 Potential der mittleren Kraft

• für beliebige n:

$$g(\vec{r}) = e^{-\beta w(\vec{r})} \tag{4.36}$$

mit $w(\vec{r}) = \nu(\vec{r}) + \Delta w(\vec{r})$

$$\nabla w(\vec{r}) = -\frac{k_B T}{g(\vec{r})} \nabla g(\vec{r}) = \frac{k_B T V}{g(\vec{r})} \langle \nabla_{12} \delta(\vec{r} - \vec{r_{12}}) \rangle = \langle \nabla_{12} \nu(\vec{r_{12}}) \rangle \bigg|_{\vec{r_{12}} = \vec{r}}$$
(4.37)

• $w(\vec{r})$ ist die Gleichgewichts-Kraft die aufgebracht werden muss, um zwei Partikel vom ∞ zu \vec{r} (relative Position) zu bringen \approx Freie Energie

4.3.3 Ornstein-Zernike Integral-Gleichung

• Direkte Korrelationsfunktion $c(\vec{r})$ (für homogene Systeme):

$$h(\vec{r}) = c(\vec{r}) + n \int d\vec{r}' c(\vec{r} - \vec{r}') h(\vec{r}')$$
 (4.38)

$$h_q = c_q + nc_q h_q (4.39)$$

$$S_q = 1 + nh_q = \frac{1}{1 - nc_q} \tag{4.40}$$

• Interpretaation

- 1. Exakte selbstkonsistente Relation, die nebeneinander für h und c gelöst werden muss. Benutze "closure relations" (hypernetted chains, Born-Green, Percus-Yevick random phase approximation, Mean Spherical Approximation, etc.), um h und c zu beschränken (Nebenbedingungen) ⇒ nicht-pertubativ, unkontrollierbare Approximationen
 - Mean Spherical Approximation: $c(r) \approx -\beta \nu(r)$

- random phase approximation: $c(r) \approx -\beta \nu(r)$

$$h = c + nc * c + n^2 c * c * c$$
(4.41)

 $\Rightarrow g(r)$ wird aus einer Kette von "short-range" (direkte) Korrelationen in c(r) gebildet

- Percus-Yevick closure for hard spheres:

$$c(r) = g(r)(1 - e^{-\beta\nu(r)}) \tag{4.42}$$

$$h(r < \sigma) = -1$$
 $c(r > \sigma) = 0$ (4.43)

- 2. Eine Art von Störungs-Serien
 - Asakura-Oosawa approximation: Störungsentwicklung, "low-density limit" (akkuratere Darstellung durch Gleichung 4.37 und Percus-Yevick):

$$h(r) \sim c(r) \sim f(r) = e^{-\beta\nu(r)} - 1$$
 (4.44)

$$\rightarrow h(\vec{r}) \sim f(\vec{r}) + n \int d\vec{r}' f(\vec{r} - \vec{r}') f(\vec{r}') \tag{4.45}$$

 \rightarrow hardspheres:

$$f(r > \sigma) = 0$$
 $h(r > \sigma) = e^{-\beta \Delta w(r)} - 1 \sim -\beta \Delta w(r)$ (4.46)

$$\Rightarrow \beta \Delta w(\vec{r_{12}}) = -n \int d\vec{r_3} f(\vec{r_{13}}) f(\vec{r_{23}}) + O(n^2)$$
 (4.47)

4.4 Thermodynamische Störungstheorie und Fluktuations-Dissipations-Theorem

• Doppel-Hierarchie der isothermen Ableitungen von F(T,V,N) und $J(T,V,\mu)$

4.4.1 Thermodynamik

• Freie Energie $f = \frac{F}{V}$:

$$\partial_n^2 \beta f = \frac{1}{n^2 k_B T \kappa_T} \tag{4.48}$$

• Großkanonisches Potential $j = \frac{J}{V}$:

$$-\partial_{\beta\mu}^2 j = nS_{q\to 0} = n^2 k_B T \kappa_T \tag{4.49}$$

• Doppel-Hierarchie:

$$(\partial_n^2 \beta f)(-\partial_{\beta\mu}^2 j) = 1 \tag{4.50}$$

4.4.2 Dichte-Funktional-Theorie

- lasse räumliche Variationen zu: $n(\vec{r})$, $\mu(\vec{r})B \rightarrow \text{bedingt durch externe Felder}$
- Hamiltonian:

$$\mathcal{H} = \sum_{i} \frac{\vec{p_i}^2}{2m} + \mathcal{V}(\{\vec{r_i}\}) + \mathcal{U}(\{\vec{r_i}\}) =$$
 (4.51)

$$= \sum_{i} \frac{\vec{p_i}^2}{2m} + \frac{1}{2} \int d\vec{r} \int d\vec{r}' \hat{n}(\vec{r}) \nu(\vec{r} - \vec{r}') \hat{n}(\vec{r}') + \int d\vec{r} u(\vec{r}) \hat{n}(\vec{r}')$$
(4.52)

mit $\hat{n} = \sum_i \delta(\vec{r} - \vec{r_i})$ und $\langle \hat{n}(\vec{r}) \rangle = n(\vec{r})$

• Funktional-Ableitung von \mathcal{H} :

$$\frac{\delta^2 \mathcal{H}}{\delta n(\vec{r})\delta n(\vec{r}')} = \nu(\vec{r} - \vec{r}') \tag{4.53}$$

• Positions-abhängiges chemisches Potential:

$$\mu(\vec{r}) = \mu - u(\vec{r}) \tag{4.54}$$

• Großkanonische Zustandssumme:

$$Z_G = \sum_{N} \frac{1}{N! \lambda_T^3} \int d^N \vec{r} exp\{-\beta \left(\mathcal{V}(\{\vec{r}_i\}) - \mu(\vec{r}) \right) \} = e^{-\beta J}$$
 (4.55)

• Funktional-Pfad-Integral:

$$\langle ... \rangle = \int \mathcal{D}\left[\hat{n}(\vec{r})\right]...$$
 (4.56)

- \rightarrow Integration über alle möglichen Realisationen von $\hat{n}(\vec{r})$
- Minimierung von J:

$$\frac{-\delta J}{\delta n(\vec{r})} = 0 \tag{4.57}$$

$$\frac{-\delta J}{\delta \mu(\vec{r})} = n(\vec{r}) \tag{4.58}$$

$$\frac{-\delta^2 \beta J[\mu(\vec{r})]}{\delta \beta \mu(\vec{r}) \delta \beta \mu(\vec{r}')} = \langle \delta \hat{n}(\vec{r}) \delta \hat{n}(\vec{r}') \rangle = \langle \hat{n}(\vec{r}) \hat{n}(\vec{r}') \rangle - \langle \hat{n}(\vec{r}) \rangle \langle \hat{n}(\vec{r}') \rangle = G(\vec{r}, \vec{r}')$$

$$(4.59)$$

• Funktional-Ableitung von $F[n(\vec{r})] = J + \int d\vec{r} n(\vec{r}) \mu(\vec{r})$:

$$\frac{\delta F}{\delta n(\vec{r})} = \mu(\vec{r}) \tag{4.60}$$

$$\frac{\delta^2 \beta F}{\delta n(\vec{r}) \delta n(\vec{r}')} = G^{-1}(\vec{r}, \vec{r}') \tag{4.61}$$

• Paar-Korrelations-Funktion:

$$G(\vec{r}, \vec{r}') = \langle (\hat{n}(\vec{r}) - n(\vec{r}))(\hat{n}(\vec{r}') - n(\vec{r}')) = \langle \sum_{i,j} \delta(\vec{r}' - \vec{r_i})\delta(\vec{r}'' - \vec{r_j}) \rangle - n(\vec{r})n(\vec{r}')$$

$$(4.62)$$

$$= n(\vec{r}', \vec{r}) + n(\vec{r})\delta(\vec{r} - \vec{r}') - n(\vec{r})n(\vec{r}') = n(\vec{r})n(\vec{r}')h(\vec{r}, \vec{r}') + n(\vec{r})\delta(\vec{r} - \vec{r}')$$
(4.63)

 $\rightarrow G(\vec{r}, \vec{r}')$ ist symmetrisch in Argumenten

 \rightarrow Zusammenhang zwischen Korrelationsfunktion und Response-Funktion

homogenes System: $G(\vec{r}) = n^2 h(\vec{r}) + n\delta(\vec{r})$

$$S_q = \frac{1}{n} \int d\vec{r} \vec{G}(\vec{r}) e^{iq\vec{r}}$$

• Doppel-Hierarchie:

$$\int d\vec{r}'' \frac{-\delta^2 J}{\delta \mu(\vec{r}') \delta \mu(\vec{r}'')} \frac{\delta^2 \beta F}{\delta n(\vec{r}'') \delta n(\vec{r}'')} = \int d\vec{r}'' G(\vec{r}, \vec{r}'') G^{-1}(\vec{r}'', \vec{r}') = \delta(\vec{r} - \vec{r}')$$

$$(4.64)$$

Fourier-Raum: $G_q^{-1} = \frac{1}{G_q}$

• Ideales Gas Freie Energie:

$$\beta F_{ig} = \int d\vec{r} n(\vec{r}) \left[ln(n(\vec{r})\lambda_T^3) - 1 \right]$$

$$(4.65)$$

$$\frac{\delta F_{ig}}{\delta n(\vec{r})} = \mu_{ig}(\vec{r}) \tag{4.66}$$

$$\frac{\delta^2 \beta F_{ig}}{\delta n(\vec{r}) \delta n(\vec{r}')} = \frac{\delta(\vec{r} - \vec{r}')}{n(\vec{r})}$$
(4.67)

• externe Freie Energie und direkte Korrelationsfunktion:

$$\frac{\delta F_{ex}}{\delta n(\vec{r})} = \mu(\vec{r}) - \mu_{ig}(\vec{r}) = \mu_{ex}(\vec{r})$$
(4.68)

$$\frac{\delta^2 \beta F_{ex}}{\delta n(\vec{r}) \delta n(\vec{r'})} = -c(\vec{r}, \vec{r'})$$
(4.69)

$$\frac{\delta^2 \beta F}{\delta n(\vec{r}) \delta n(\vec{r}')} = \frac{\delta(\vec{r} - \vec{r}')}{n(\vec{r})} - c(\vec{r}, \vec{r}')$$
(4.70)

• Ornstein-Zernecke-Gleichung:

$$h(\vec{r}, \vec{r}') = c(\vec{r}, \vec{r}') + \int d\vec{r}'' h(\vec{r}, \vec{r}'') n(\vec{r}'') c(\vec{r}'', \vec{r}')$$
(4.71)

• Für homogene Flüssigkeiten:

$$h(r) = c(r) + n \int d\vec{r}_3 h(|\vec{r}_1 - \vec{r}_3|) c(|\vec{r}_2 - \vec{r}_3|)$$
(4.72)

• Fourierraum:

$$h_q = c_q + nh_q c_q$$
 $\to S_q = 1 + nh_q = \frac{1}{1 - nc_q}$ (4.73)

4.4.3 Fluktuations-Response-Theorem

- für homogene Flüssigkeiten: abgeleitet durch Störungstheorie 1. Ordnung
- externe Störung:

$$u(\vec{r}) = \frac{u_q}{V} e^{i\vec{q}\vec{r}} \tag{4.74}$$

• Störungs-Hamiltonian:

$$\mathcal{U} = \int d\vec{r} \hat{n}(\vec{r}) u(\vec{r}) = \frac{u_q \hat{n}_{-q}}{V}$$
(4.75)

mit $\hat{n}_q = \sum_i e^{-i\vec{q}\vec{r}}$

ullet Resultierendes Dichtefeld (in Anwesenheit der Störung \mathcal{U})

$$\langle \hat{n}_q \rangle_{\mathcal{U}} = \frac{\langle \hat{n}_q e^{-\beta \mathcal{U}} \rangle}{\langle e^{-\beta \mathcal{U}} \rangle} \sim n_q + \frac{\beta u_q}{V} \left(\langle \hat{n}_q \rangle \langle \hat{n}_{-q} \rangle - \langle \hat{n}_q \hat{n}_{-q} \rangle \right) \tag{4.76}$$

• Abweichung vom homogenen System:

$$\nabla n_q^{(\mathcal{U})} = \langle \hat{n}_q \rangle_{\mathcal{U}} - \langle \hat{n}_q \rangle = -\frac{\beta u_q}{V} \langle \delta \hat{n}_q \delta \hat{n}_{-q} \rangle = -\beta u_q n S_q \tag{4.77}$$

• Suszeptibilität:

$$\chi(\vec{r}, \vec{r}') = \frac{\delta n(\vec{r})}{\delta u(\vec{r}')} \tag{4.78}$$

Homogenes System: $\chi(\vec{r}, \vec{r}') \rightarrow \chi(\vec{r} - \vec{r}') \rightarrow \chi_q$

• Fluktuations-Response-Theorem

$$\chi_q = \frac{\delta n_q}{\delta u_q} = -\beta n S_q \tag{4.79}$$

Der Strukturfaktor (Suszeptibilität) kontrolliert die Dichteänderung als Antwort zu einem externen Störungs-Potential.

4.4.4 Störungstheorie

1.

$$\beta F_{ex}\left[n(\vec{r})\right] = -\int_0^1 d\alpha \int d\vec{r} n(\vec{r}) \int_0^\alpha d\alpha' \int d\vec{r}' n(\vec{r}') c_{\alpha'}(\vec{r}, \vec{r}')$$
(4.80)

für homogene Systeme: $\beta f_{ex}(\vec{r}) = -n^2 \int_0^1 \alpha (1-\alpha) c_\alpha(\vec{r})$

2.

$$F_{ex}\left[n(\vec{r})\right] = \frac{1}{2} \int_0^1 d\alpha \int d\vec{r} \int d\vec{r}' n_\alpha(\vec{r}, \vec{r}') \nu_\alpha(\vec{r} - \vec{r}')$$
(4.81)

4.4.4.1 Random-Phase-Approximation

$$F_{ex}[n(\vec{r})] = \frac{1}{2} \int d\vec{r} \int d\vec{r}' n(\vec{r}) \nu(\vec{r} - \vec{r}') n(\vec{r}')$$
(4.82)

• Interpretation

1. Vernachlässigung der Korrelationen

$$n(\vec{r}, \vec{r}') \to n(\vec{r})n(\vec{r}') \tag{4.83}$$

 \rightarrow auch gut für dichte Flüssigkeiten für große Trennung von \vec{r} und \vec{r}'

2. Näherung für kleine Dichten

$$c(\vec{r}, \vec{r}') \to -\beta \nu(\vec{r} - \vec{r}') \tag{4.84}$$

 \rightarrow gut für kleine Dichten und schwache WW $(c(\vec{r}) \sim f(\vec{r}) = e^{-\beta\nu(\vec{r})} \sim -\beta\nu(\vec{r}))$

4.5 Dichte-Funktional-Theorie

4.5.0.1 Inhomogenes Ideales Gas

$$\beta F_{ig} = \int d\vec{r} n(\vec{r}) \left[ln(n(\vec{r})\lambda_T^3) - 1 \right]$$
(4.85)

$$\frac{\delta F_{ig}}{\delta n(\vec{r})} = \mu_{ig}(\vec{r}) \tag{4.86}$$

$$\frac{\delta^2 \beta F_{ig}}{\delta n(\vec{r}') \delta n(\vec{r}')} = \frac{\delta(\vec{r} - \vec{r}')}{n(\vec{r})}$$
(4.87)

• homogener Fall:

$$G(\vec{r}, \vec{r}') = n\delta(\vec{r} - \vec{r}') \tag{4.88}$$

$$g(\vec{r}) = 1 \tag{4.89}$$

$$h(\vec{r}) = c(\vec{r}) = 0$$
 (4.90)

$$S_q = 1 \tag{4.91}$$

4.5.1 Geringfügig inhomogenes Flüssigkeiten

- kleine Abweichungen von dem bekannten homogenen System
- $\delta n(\vec{r}) = n(\vec{r}) n$
- $F_{in} = F F_{hom}$

$$\Rightarrow \beta F_{in} = \int d\vec{r} \left[n(\vec{r}) ln \left(\frac{n(\vec{r})}{n} \right) - \delta n(\vec{r}) \right] - \frac{1}{2} \int d\vec{r} d\vec{r}' \delta n(\vec{r}) c(\vec{r}, \vec{r}') \delta n(\vec{r}')$$
(4.92)

mit $\int d\vec{r} \delta n(\vec{r}) = 0$ und $\int d\vec{r} n(\vec{r}) = N$

• Minimum-Kondition:

$$\frac{\delta F_{in}}{\delta n(\vec{r})} = \mu_{in}(\vec{r}) = \ln\left(\frac{n(\vec{r})}{n}\right) - \int d\vec{r}' c(\vec{r}, \vec{r}') \delta n(\vec{r}') = -u(\vec{r})$$
(4.93)

$$\rightarrow n(\vec{r}) = ne^{-\beta u_{eff}} \tag{4.94}$$

mit $u_{eff} = \beta u(\vec{r}) - \int d\vec{r}' c(\vec{r}, \vec{r}') \delta n(\vec{r}')$

4.5.1.1 Possion-Boltzmann-Theorie

• Beispiel für RPA in Dichtefunktionaltheorie

$$\beta\Theta(\vec{r}) = \int d\vec{r}' \frac{z^2 l_B}{|\vec{r} - \vec{r}'|} n_C(\vec{r}')$$
(4.95)

$$n_C(\vec{r}) = n_+(\vec{r}) - n_-(\vec{r}) \tag{4.96}$$

• Barometer-Gleichung:

$$n_{\pm}(\vec{r}) = \frac{n}{2}e^{\mp\beta\Theta(\vec{r})} \tag{4.97}$$

$$n_{+} - n_{-} = n \sinh(\beta \Theta) \tag{4.98}$$

(4.99)

• Possiongleichung:

$$\Rightarrow \beta \nabla^2 \Theta(\vec{r}) = -4\pi z^2 l_B n_C = \kappa^2 \sinh(\beta \Theta(\vec{r}))$$
 (4.100)

mit Deybe-Länge
(Länge beider Störungstheorie verfällt): $\kappa^2=4\pi z^2 l_B n$ mit Bierrum Länge
: $l_B=\beta e^2$

5. Kritische Phänomene

- extreme Form von Universalität, kollektives Phänomen
- z.B. Magneten oder Gas-Flüssigkeits-Übergang können in der selben Universalitätsklasse sein, also Systeme, die mikroskopisch und phänomenologisch völlig Verschieden sind.
- äußert sich in nicht-analytischem Verhalten verschiedener thermodynamischer Größen am kritischen Punkt → definiert kritische Exponenten, die nicht-Analytizität charakterisieren.
- Betrachten Umgebung um den kritischen Punkt: kleine Parameter
- dimensionslose Größe:
 - Temperatur:

$$t = \frac{T - T_C}{T_C}$$

- äußeres Feld h zum Beispiel magnetisches Feld, μ ,...

Beobachtung

• Spezifische Wärme: divergiert schwach

$$C_V \propto |t|^{-\alpha}$$

- Ordnungsparameter:
 - neu entstehende "Qualität" am Phasenübergang
 - $-\psi(T) \propto |t|^{\beta}$ für t < 0
 - Beispiele: latente Wärme (vdW), spontane Magnetisierung, Kondensatanteil (Bose-Einstein-Kondensation), Volumendifferenz zwischen Gas/Flüssigkeit ⇒ häufig spontane Symmetriebrechung
- Suszeptibilität:

$$\chi_T(T) \propto |t|^{-\gamma}$$

z.B. Maxwellgerade hat Anstieg 0 in p(V) und "unendlichen Anstieg" in V(p)

• kritische Isotherme (t = 0):

$$h \propto |\psi|^{\delta}$$

• Korrelationslänge:

$$\xi(T) \propto |t|^{-\nu}$$

- Theorie zur Beschreibung von Phasenübergängen
- Form des Landaupotentials ist durch die Symmetrie der Phasen festgelegt
- trifft keine Aussagen über mikroskopische Ursachen des Phasenübergangs (mean-field-Theorie)
- Fluktuationen des Ordnungsparamters durch $(\nabla \psi)^2$

5.1 Landau Theorie

Entwicklung der Freien Energie nach der vierten Potenz:

$$\mathcal{F}(T, h, \psi) = \frac{J(T, \mu)}{n_C k_B T_C v} = F_0(T) + V[a(T)\psi^2 + u(T)\psi^4 - h\psi]$$

mit ψ als Ordnungsparameter (Dichte, Magnetisierung,...)

- nur für Phasenübergänge 2. Ordnung zuständig
- Translationsinvarianz: keine ψ^3 Terme
- $a(T) = a_0(T T_0), u(T) = u_0$
- Extremalbedinung: $\frac{d\mathcal{F}}{d\psi} = 2a(T)V\psi_0 + 4u(T)V\psi_0^3 = 0$ $\Rightarrow \psi_0 = \pm \sqrt{-\frac{a(T)}{2u(T)}}$
- Ordnungsparameter:

$$\psi_0 = \begin{cases} 0 & T \ge T_c \\ \sqrt{\frac{a_0}{2u_0}} (T - T_c) & T < T_C \end{cases}$$

mit dem kritischen Exponenten: $\beta = \frac{1}{2}$

• Spezifische Wärme:

$$C_h = -T\partial_{T^2}F(T,h)$$

$$C_h = C_0 + \begin{cases} 0 & T \ge T_c \\ \sqrt{\frac{a_0^2}{2u_0}T} & T < T_C \end{cases}$$

mit dem kritischen Exponenten: $\alpha=0$

 C_h hat nach der Landau-Theorie einen Sprung beim Phasenübergang.

• Suszeptibilität: mit $\chi=\partial_h\psi$ wird die Störung von $\psi=\psi_0+\delta\psi$ berechnet

$$\frac{1}{V}\frac{\partial \mathcal{F}(T, h, \psi)}{\partial \psi} = 0$$

$$\chi = \frac{\partial \psi}{\partial h} = \frac{\delta \psi}{h} = \begin{cases} \frac{1}{2a_0|T - T_c|} & T \ge T_c\\ \frac{1}{4a_0|T - T_c|} & T < T_C \end{cases}$$

mit dem kritischen Exponenten: $\gamma = 1$

• kritische Isotherme: $T = T_c, t = 0, \psi_0 = 0$

$$\frac{1}{V}\frac{\partial \mathcal{F}(T,h,\psi)}{\partial \psi} = 4u_0(\psi)^3 - h = 0$$

$$h = 4u_0\psi^3$$

mit dem kritischen Exponenten: $\delta = 3$

- Theorie ist ganz allgemein: unabhängig von Dimension, Landau-Parameter, Charakter des Ordnungsparameters
- ullet Berechnung der Korrelationslänge ist nur über den Ginsburg-Landau-Ansatz möglich mit $\nu=rac{1}{2}$

5.1.1 Skalenhypothese

Verallgemeinerte Homogenitätsrelation in den intensiven Kontrollparametern für die Landau-freie-Energie \mathcal{L} , genauer für deren singulären Anteil \mathcal{L}_S

$$\lambda \mathcal{L}_S(t,h) = \mathcal{L}_S(\lambda^{a_t}t, \lambda^{a_h}h)$$

Im Unterschied zur bisher verwendeten Homogenität ist a_t, a_h nicht 1 und t, h sind intensive Variablen.

Insbesondere gilt das für die Wahl

$$\lambda = |t|^{-\frac{1}{a_t}}$$

also

$$\mathcal{L}_{S}(t,h) = |t|^{\frac{1}{a_{t}}} \mathcal{L}_{S}\left(\pm 1, \frac{h}{|t|^{\frac{a_{h}}{a_{t}}}}\right) \equiv |t|^{\frac{1}{a_{t}}} \mathcal{L}_{\pm}\left(\frac{h}{|t|^{\frac{a_{h}}{a_{t}}}}\right)$$

Neue Analytizitätsannahme (für Entwicklung am kritischen Punkt) betreffen Existenz von Limites $\mathcal{L}(0), \mathcal{L}'(0), \mathcal{L}''(0)$ und $\mathcal{L}'(x \to \infty) \sim -x^{\frac{1}{\delta}}$.

Durch Differentiation bekommen wir die kritischen Exponenten

$$C_{V} \propto -T\partial_{t}^{2}\mathcal{L}_{S}(t,h=0) = -T\partial_{t}^{2}|t|^{\frac{1}{a_{t}}}\mathcal{L}_{\pm}(0) \propto |t|^{\frac{1}{a_{t}}-2} = |t|^{-\alpha}$$

$$\psi \propto -\partial_{h}\mathcal{L}_{S}(h\to 0) \propto |t|^{\frac{1-a_{h}}{a_{t}}}\mathcal{L}'_{\pm}(0) \propto |t|^{\beta}$$

$$\chi_{T} \propto -\partial_{h}^{2}\mathcal{L}(h\to 0) \propto |t|^{\frac{1-2a_{h}}{a_{t}}}\mathcal{L}''_{\pm}(0) \propto |t|^{-\gamma}$$

$$\psi(h) \propto -\partial_{h}\mathcal{L}_{S}(t\to 0) \propto -|t|^{\frac{1-a_{h}}{a_{t}}}\mathcal{L}'_{\pm}\left(\lim_{t\to 0}\frac{h}{|t|^{\frac{a_{h}}{a_{t}}}}\right) \propto |t|^{\frac{1}{a_{t}}-\frac{a_{h}}{a_{t}}(1+\frac{1}{\delta})}h^{\frac{1}{\delta}} = t^{0}h^{\frac{1}{\delta}}$$

Daraus lesen wir die kritischen Exponenten ab:

$$\alpha = 2 - \frac{1}{a_t} \text{ und } \beta = \frac{1 - a_h}{a_t} \text{ und } \gamma = \frac{2a_h - 1}{a_t} \text{ und } \delta = \frac{a_h}{1 - a_h}$$

Zudem finden wir damit Exponentenrealtionen wie man sie auch aus der Thermodynamik bekommt

$$2-\alpha=2\beta+\gamma$$

5.2 Landau-Ginsburg Theorie

Landau-freie Energie (großkanonisches Potential) nahe des kritischen Punktes (Taylorentwicklung der Freien Energie als Funktion des Ordnungsparameters):

$$\mathcal{L}_{\equiv} \frac{t}{2} \psi^2 + \frac{g}{4} \psi^4 - h\psi$$

Allgemeine Methode: Hydrodynamisch: Annahme langwelliger Fluktuationen \rightarrow energetische Bestrafung von Fluktuationen auf Gradienten.

Landau-Ginsburg-freie-Energie mit Faktor zur Dimensionslosigkeit $n_c k_B T_c$:

$$L_G = n_c k_B T_c \int_V \mathrm{d} \vec{r} \, \mathcal{L}_G$$

mit der Landau-Ginsburg-Dichte

$$\mathcal{L}_{G} \equiv \frac{l^{2}}{2} (\nabla \psi(\vec{r}))^{2} + \frac{t}{2} \psi(\vec{r})^{2} + \frac{g}{4} \psi(\vec{r})^{4} - h\psi(\vec{r})$$

mit $t = (T - T_c)/T_c$, Ordungsparameter ψ (z.B. σ) und mikroskopischer Längeneinheit l (Steifigkeit des Systems gegen Fluktuationen). Hier hänge der Ordnungsparameter ψ vom Ort ab und der Term $l^2/2(\nabla \psi)^2$ betraft die Fluktuationen.

- $\bullet\,$ nur für schwache inhomogene Systeme definier
t \to wenig Fluktuation
- \bullet Qualitative gute Vorhersage \to aber nur rationale exponenten
- Minimalisierung:

$$\frac{\delta L_G[\psi]}{\delta \psi} = 0 \tag{5.1}$$

• Zustandssumme:

$$Z = tr_{\psi(\vec{r})}e^{-\beta L_G} = \int \mathcal{D}\psi(\vec{r})e^{-\beta L_G} = \int \Pi_i^{N(\Omega)} d\psi_i e^{-\beta L_G}$$
(5.2)

 \to Normalerweise Integration im Fourierraum: Beachte doppelte zählung im \vec{q} -Raum, da $\psi_q^{Re}=\psi_{-q}^{Re}$ und $\psi_q^{Im}=-\psi_{-q}^{Im}$

$$Z = \int \prod_{|\vec{q}| < \Gamma, q_z > 0} d\psi_q^{Re} d\psi_q^{Im} e^{-\beta L_G}$$
(5.3)

5.2.1 Phasengrenzflächen:

Unterhalb von T_c kann das System in zwei Phasen vorliegen (siehe Bild)

Modellierung der Gernzfläche durch Minimierung: Euler-Langrange-Gleichung

$$\frac{\delta L_G}{\delta \psi} = 0$$

$$\frac{\delta L_G}{\delta \psi} = \nabla \frac{\partial \mathcal{L}_G}{\partial (\nabla \psi)} - \frac{\partial \mathcal{L}_G}{\partial \psi} = 0$$

Diese ergibt

$$\nabla(l^2\nabla\psi) - t\psi - g\psi^3 = l^2\nabla^2\psi - t\psi - g\psi^3 = 0$$

Wir betrachten den eindimensionalen Fall $\psi = \psi(z)$ mit antiperiodischer Nebenbedingung $\psi(z \to \pm \infty) = \pm \sqrt{-t/g} = \pm \sqrt{|t|/g}$.

Lösung: Kink-Profil

$$\psi(z) = \psi_1 \cdot \tanh(z/\xi)$$

mit $\psi_1=\pm\sqrt{|t|/g}$: Gleichgewichtswerte (Minima der Freien Energie) und $\xi=\sqrt{\frac{2l^2}{-t}}$: Breite der Grenzfläche entspricht Korrelationslänge mit kritischen Exponenten: $\nu=-\frac{1}{2}$

5.2.2 Korrelationsfunktion

• mit $\psi(\vec{r}) = \psi_0 + \phi(\vec{r})$:

$$\frac{\delta \mathcal{L}_{\mathcal{G}}}{\delta \psi(\vec{r})} = 0 \tag{5.4}$$

$$-l^{2}\nabla\psi(\vec{r}) + t\psi(\vec{r}) + g\psi(\vec{r})^{3} - h(\vec{r}) = 0$$
(5.5)

$$\left(-l^2\nabla + t + 3g\psi_0^2\right)\frac{\phi(\vec{r})}{h_0} = \delta(\vec{r})$$
 (5.6)

• aus Landau-Theorie folgt:

$$\psi_0 = \begin{cases} \pm \sqrt{\frac{-t}{g}} & f \ddot{\mathbf{u}} r & t < 0\\ 0 & f \ddot{\mathbf{u}} r & t > 0 \end{cases}$$
 (5.7)

• Korrelation:

$$\frac{\langle \psi(\vec{r}) \rangle}{\delta h(\vec{r})} = \frac{\phi(\vec{r})}{h_0} = \beta \langle \phi(\vec{r})\phi(0) \rangle - \langle \phi(\vec{r}) \rangle \langle \phi(0) \rangle \tag{5.8}$$

• mit $\langle \phi(\vec{r}) \rangle = 0$ gilt:

$$\Rightarrow (\Delta - \xi^{-2}) \langle \phi(\vec{r})\phi(0) \rangle = -C\delta(\vec{r})$$
 (5.9)

$$\Rightarrow (\Delta + \xi^{-2})\langle |\phi_q|^2 \rangle = C \tag{5.10}$$

$$\text{mit } \xi = \begin{cases} l|t|^{-1/2} & f \ddot{\mathbf{u}} r & t > 0 \\ \frac{l}{2}|t|^{-1/2} & f \ddot{\mathbf{u}} r & t < 0 \end{cases} \quad \text{und } C = \frac{T}{T_c n_c l^2}$$

• Lösung mit $h(\vec{r}) = \langle \phi(\vec{r})\phi(0) \rangle = h(r)$ und r > 0:

$$h(r) \propto \begin{cases} r^{-(d-1)/2} e^{-\frac{r}{\xi}} & \text{für} & r \to \infty \\ r^{-(d-2)} & \text{für} & \xi \to \infty \end{cases}$$
 (5.11)

• Reales Verhalten für $\xi \to \infty$ und d < 4:

$$h(r) \propto r^{-(d-2+\eta)} \qquad \langle |\phi_q|^2 \rangle \propto q^{\eta-2}$$
 (5.12)

- \rightarrow Kopplung von Fluktuationen an Skalen in der kritischen Region
- Universale Exponenten-Realtion: $\gamma = \nu(2 \eta)$

5.2.3 Ginsburg Kriterium

• Landau-Theorie liefert nicht die richtige kritische Temperatur: betrachtet nur kurzreichweitige Wechselwirkungen Zusammenbruch der Landau-Ginsburg-Theorie: obere/untere kritische Dimension

Idee: bei $T=T_c$ werden Fluktuationen nicht mehr von dem ψ^2 -Term in Schach gehalten. $(\Delta \psi)^2$ muss nun die Fluktuation beschränken.

Im Gleichgewicht gilt: $\mathcal{L}_G - \mathcal{L} \approx k_B T \Rightarrow n_c k_B T_c \int_V d\vec{r} \, l^2 (\Delta \psi)^2 \approx k_B T$

$$n_c k_B T_c \int_V d\vec{r} \, l^2 (\Delta \psi)^2 = n_c k_B T_c \xi^{d-2} l^2 \delta \psi^2 \approx k_B T$$

$$\Rightarrow \delta \psi^2 \approx (l^d n_c)^{-1} |t|^{\frac{d-2}{2}}$$

• Zusammenbruch der Theorie, wenn $\frac{\delta \psi}{\psi_1} > 1$

$$\frac{\delta \psi^2}{\psi_1^2} \approx (l^d n_c)^{-1} g|t|^{\frac{d-4}{2}}$$

 \rightarrow obere kritische Dimension d=4: Fluktuationen dominieren Thermodynamik; Vorhersage von Landautheorie ist nicht mehr gültig

$$\rightarrow$$
für $d_u < 4$ Theorie bricht zusammen in der Region: $|t| < \left(\frac{g}{e^d n_c}\right)^{\frac{2}{d_u - d}}$

- untere kritische Dimension: Fluktuationen werden absolut groß
 - Für $d \leq 2$ Hydrodynamik-Tod: Zusammenbruch der Hydrodynamik durch hydrodynamische Fluktuationen
 - Kein Artefakt der Theorie, realer physikalischer Effekt
- Golstone-Moden: Hydrodynamische Moden/Anrgegungen, die gebrochene Symmetrien wiederherstellen
 - \rightarrow sind Langreichweitige Fluktuationen vom zugehörigen Ordnungsparameter
 - \rightarrow verbreiten sich für d < 2 und T > 0
 - \rightarrow haben dann eine unendliche Korrelationsfunktion

5.2.3.1 Mermin-Wagner-Theorem

- → Keine spontanen Symmetriebrechungen bei Systemen mit kurzreichweitigen Wechselwirkungen möglich für kontinuierliche Ordnungs-Parameter (weil Flutkuationen so groß sind dass sie die spontane Symmetriebrechung zerstören, Goldstone-Moden divergieren)
- \rightarrow Moden verhindern Phasenordnungs-Phänomen für alle kontinuierlichen Ordnungsparameter, wenn Wechselwirkung nicht langreichweitig sind
- \rightarrow Es liegt kein Phasenübergang 2.Ordnung vor
- → keine 1 und 2 dim Kristalle möglich (thermische Fluktuation zerstört Struktur)

Ausnahme: Ising-Modell (diskontinuierliche Variable, Anregung durch Defekte)

Physik von Mebranen und Polymeren werden von Fluktuationen dominiert

5.3 Ising-Modell

Beschreibung:

- N binäre, klassische Spinvariablen $s_i = \pm 1, i = 1, ..., N$
- diskrete Freiheitsgrade auf regulärem Gitter
- praktische Idealisierung für viele Anwendungen

Paradigmatische Extremfälle:

- keine Wechselwirkung der Spins: Paramagnet
- nur nächste-Nachbar-Wechselwirkung:

$$H = -J \sum_{\langle i,j \rangle} s_i s_j$$

- jeder-mit-jedem-Wechselwirkung: mean-field

$$H = -J\sum_{i < j} s_i s_j$$

- Zufallswechselwirkung: Spinglas-Modell

$$H = -\sum_{i < j} J_{i,j} s_i s_j$$

Für J > 0 ist es ein Ferromagnet und für J < 0 ein Anti-Ferromagnet.

Hamiltonian bei äußerem Feld und interacting points ip:

$$H(\lbrace s_i \rbrace) = -J \sum_{iD} s_i s_j - h \sum_i s_i$$

5.3.1 Dimension d=2

Mean-field-Theorie

Theorie für "extensiv viele Nachbarn" zum Beispiel für unendliche Raumdimensionen oder unendlichlangreichweitigen Wechselwirkungen.

Die Nachbarn erzeugen ein effektives mittleres Feld für jeden Spin.

Homogene Theorie ohne Fluktuation: $s_i = \sigma + \Delta s_i \rightarrow s_i s_j \approx \sigma \sigma + \sigma \Delta s_i$

Wir nehmen hier an, dass jeder Spin mit jedem wechselwirkt, also die Wechselwirkungen unendlichreichweitig sind.

$$H = -\frac{J}{2} \sum_{i \neq j} s_i s_j - h \sum s_i$$

Wir bezeichnen $J \equiv I/N$ um eine extensive Energie zu erreichen. Die Wechselwirkung wird für unendlich viele Partner auch unendlich schwach, wie bei dem van-der-Waals-Gas. Es ist der Boltzmann-Faktor

$$e^{-\beta H} = \exp\left[\frac{\beta I}{2N} \sum_{i \neq j} s_i s_j + \beta h \sum_i s_i\right]$$

Die Zustandssumme ist

$$Z = \sum_{\{s_i\} = \pm 1} e^{-\beta H}$$

Zustandssumme eines Paramagneten:

$$Z_{\text{ParaMag}} = \sum_{\{s_i\}} \exp\left[-\beta(-I\zeta - h)\sum_i s_i\right] = \prod_i \sum_{s_i = \pm 1} e^{\beta(I\zeta + h)s_i}$$
$$= \left[\sum_{s = \pm 1} e^{\beta(I\zeta + h)s}\right]^N = 2^N \cosh^N(\beta(I\zeta + h))$$

Somit gilt für die allgemeine Zustandssumme (mit der Näherung $\zeta = \langle s \rangle$):

$$Z = \left(\frac{\beta IN}{2\pi}\right)^{1/2} \int_{-\infty}^{\infty} d\zeta \ e^{-\beta N \ a(\zeta,h)}$$

mit der Landau-freien Energie:

$$a(\zeta,h) \equiv \frac{I}{2} \; \zeta^2 - \frac{1}{\beta} \; \ln[2\cosh(\beta I \zeta + \beta h)] \label{eq:alpha}$$

Sattelpunktsnäherung für $N \to \infty$:

$$\partial_{\zeta} a(\zeta) = 0 \Rightarrow \zeta_0 \Leftrightarrow \partial_{\zeta} a = I\zeta - I \tanh(\beta(I\zeta + h)) = 0$$

 $\zeta_0 = \tanh(\beta I\zeta_0 + \beta h)$

$$Z = \left(\frac{\beta IN}{2\pi}\right)^{1/2} \cdot e^{-\beta N \ a(\zeta_0, h)} = e^{-\beta F}$$

Die Magnetisierung ist dann:

$$\begin{split} \sigma &\equiv \frac{1}{N} \sum_{i} \langle s_{i} \rangle = -\lim_{N \to \infty} \partial_{h} \frac{F}{N} = -\partial_{h} a(\zeta_{0}, h)|_{\zeta_{0}} - \underbrace{\partial_{\zeta_{0}} a(\zeta_{0}, h)}_{=0}|_{h} \partial_{h} \zeta_{0} \\ &= -\partial_{h} a(\zeta_{0}, h)|_{\zeta_{0}} \\ &= \tanh(\beta I \zeta_{0} + \beta h) \\ &= \zeta_{0} = \langle s \rangle \end{split}$$

andere Methode: long-range

$$Z = \sum_{s_1 = \pm 1} \dots \sum_{s_N = \pm 1} \exp \beta \left[\frac{1}{2} \sum_{\langle i, j \rangle} I_{ij} s_i s_j + h \sum_i s_i \right]$$
 (5.13)

Magnetisierung: $m = \frac{1}{N} \langle \sum_i s_i \rangle$

$$s_i s_j = m^2 + m(s_i - m) + m(s_j - m) + (s_i - m)(s_j - m)$$
(5.14)

$$\Rightarrow Z = \sum_{s_1 = \pm 1} \dots \sum_{s_N = \pm 1} \exp \beta \left[\frac{1}{2} \sum_{\langle i,j \rangle} I_{ij} \left(-m^2 + m(s_i + s_j) \right) + h \sum_i s_i \right]$$
 (5.15)

$$= \sum_{s_1 = \pm 1} \dots \sum_{s_N = \pm 1} \exp \beta \left[-\frac{1}{2} N I m^2 + (mI + h) \sum_i s_i \right]$$
 (5.16)

$$= e^{-\beta N I m^2} \left[2 \cosh \beta (Im + h) \right]^N$$
 (5.17)

Magnetisierung:

$$m = \partial_h \frac{F}{N} = \tanh \beta (Im + h)$$
 (5.18)

Für kurzreichweitig wechselwirkende Systeme ist diese Mean-field-Theorie im Allgemeinen eine Näherung für $d < d_{\rm u}$ (upper-critical-dimension).

short-range

$$Z = \sum_{s_1 = \pm 1} \dots \sum_{s_N = \pm 1} \exp \beta \left[I \sum_{\langle i, j \rangle, nn} s_i s_j + h \sum_i s_i \right]$$

$$(5.19)$$

Magnetisierung: $m = \langle s_i \rangle$

$$s_i = m + (s_i - m) \approx m \tag{5.20}$$

$$\Rightarrow Z = \sum_{s_1 = \pm 1} \dots \sum_{s_N = \pm 1} \exp \beta(mzI + h) \sum_i s_i$$
 (5.21)

$$\Rightarrow m = \tanh\left[\beta(zIm + h)\right] \tag{5.22}$$

Die MF-Theorie liefert grundsätzlich die klassischen kritischen Exponenten der Landau-Theorie. Aus ihr kann die Landau-freie Energie hergeleitet werden.

5.3.2 Dimension d=1

periodische Randbedingungen: Transfermatrixmethode

$$Z = \sum_{\{s_i = \pm 1\}} \prod_i e^{\beta J s_i s_{i+1} + \beta h/2(s_i + s_{i+1})} = \sum_{\{s_i = \pm 1\}} \langle s_1 | \hat{T} | s_2 \rangle ... \langle s_N | \hat{T} | s_1 \rangle$$
 (5.23)

 $mit s_{N+1} = s_1$

mit Transfermatrix:

$$\hat{T} = \begin{pmatrix} e^{\beta J + \beta h} & e^{-\beta J} \\ e^{-\beta J} & e^{\beta J + \beta h} \end{pmatrix}$$
 (5.24)

$$\to Z = \sum_{s_1 = \pm 1} \langle s_1 | \hat{T}^N | s_1 \rangle = tr(\hat{T}^N) = \lambda_+^N + \lambda_-^N$$
 (5.25)

mit $\sum_{s_i=\pm i} |s_i\rangle\langle s_i| = 1$

$$\lambda \pm = e^{\beta J} \left[\cosh \beta h \pm (e^{-4\beta J} + \sinh^2(\beta h))^{1/2} \right]$$
 (5.26)

• Kritische Temperatur: $T_c=0$, Singularitäten für $\beta J\to\infty$ und $N\to\infty$ \to achte auf die Reihenfolge der Limites

- Komische Kritische Parameter: $t=e^{-\beta J}$

 \rightarrow Exponent: $\gamma = 2$

gebundene Randbedingungen:

$$Z_N = \sum_{\{s_i = \pm 1\}} \prod_i^{N-1} e^{\beta J s_i s_{i+1}}$$
 (5.27)

$$Z_{N+1} = \sum_{s_1 = \pm 1} \dots \sum_{s_{N+1} = \pm 1} \prod_{i=1}^{N} \Pi_i^N e^{\beta J s_i s_{i+1}}$$
 (5.28)

$$= \sum_{s_1 = \pm 1} \dots \sum_{s_N = \pm 1} \Pi_i^{N-1} e^{\beta J s_i s_{i+1}} \left(e^{\beta J s_N} + e^{-\beta J s_N} \right) = Z_N 2 \cosh(\beta J)$$
 (5.29)

$$\Rightarrow Z_N = 2^N (\cosh(\beta J))^{N-1} \tag{5.30}$$

5.4 Renormalisierungsgruppe

- Weg um die kritischen Exponenten zu bekommen
- Partielle Spuren:

$$\sum e^{-\beta H} = \sum' e^{-\beta H'} = \sum'' e^{-\beta H''} = \dots$$
 (5.31)

• Wenn man partialle Spuren macht:

Nahe des kritischen Punktes wird die Spuren-Energie mit schwachen renormalisierten Parametern reproduziert.

Am kritischen Punkt ist sie invariant

• "fixed points":

stabil: $T = 0, \infty$ instabil: $T = T_c$

 \rightarrow für $T < T_c$: System läuft durch Renormalisierug in Richtung T = 0

 \rightarrow für $T>T_c$: System läuft durch Renormalisierug in Richtung $T=\infty$

 \rightarrow für $T=T_c$: System bleibt bei $T=T_c$

5.4.1 Ising (d=1)

5.4.1.1 Vorlesung:Transfermatrix

$$Z = \sum_{\{s_i = \pm 1\}} \langle s_1 | \hat{T} | s_2 \rangle \langle s_2 | \hat{T} | s_3 \rangle ... \langle s_N | \hat{T} | s_1 \rangle$$

$$(5.32)$$

mit h = 0, kritischer Parameter: $t = e^{-\beta J}$

$$\hat{T} = \begin{pmatrix} e^{\beta J} & e^{-\beta J} \\ e^{-\beta J} & e^{\beta J} \end{pmatrix}$$
 (5.33)

• Partielle Spur:

$$Z = \sum_{\{s_{2i-1} = \pm 1\}} \langle s_1 | \hat{T}^2 | s_3 \rangle \langle s_3 | \hat{T}^2 | s_5 \rangle ... \langle s_{N-1} | \hat{T}^2 | s_1 \rangle$$
(5.34)

 $\bullet\,$ Nach Dezimierung kann Z_N als $Z_{\tilde{N}}$ für eine Kette mit:

$$\tilde{N} = \frac{N}{2} \qquad \tilde{l} = 2l \qquad \hat{T}^2 = 2\tilde{t}^{-1}\tilde{T} = 2\tilde{t}^{-1} \begin{pmatrix} \tilde{t}^{-1} & \tilde{t} \\ \tilde{t} & \tilde{t}^{-1} \end{pmatrix}$$
 (5.35)

• RG-Gleichungen:

$$2\tilde{t}^{-2} = t^{-2} + t^2 = 2\cosh(2K) \tag{5.36}$$

$$\tilde{K} = \frac{1}{2}\ln(\cosh(2K))\tag{5.37}$$

$$\beta f(\tilde{K}) = \frac{N}{\tilde{N}} \beta f(K) - \ln(2\cosh(2K)^{1/2})$$
(5.38)

• Kritische Exponenten:

$$z = \frac{1 - t^2}{1 + t^2} \tag{5.39}$$

$$\tilde{l}\xi(\tilde{z}) = l\xi(z)$$
 $\to \xi = -\ln(z) = -\ln(\tanh(K)) \to_{K>>1} 2e^{-2K} \propto t^{-2}$ (5.40)

5.4.1.2 Normal

$$Z = \sum_{\{s_i = \pm 1\}} \Pi_i e^{\beta J s_i s_{i+1}}$$
 (5.41)

$$= \sum_{\{s_{2i}=\pm 1\}} \Pi_{2i} \left[\sum_{\{s_{2i+1}=\pm 1\}} e^{\beta J(s_{2i}s_{2i+1}+s_{2i+1}s_{2i+2})} \right]$$
 (5.42)

$$= \sum_{\{s_{2i}=\pm 1\}} \Pi_{2i} \left(2 \cosh(\beta J(s_{2i} + s_{2i+2})) \right)$$
 (5.43)

$$= \sum_{\{s_{2i}=\pm 1\}} \Pi_{2i} z(K) e^{K'(K)s_{2i}s_{2i+2}}$$
(5.44)

• Rekursions relation:

$$2\cosh(\beta J(s_{2i} + s_{2i+2})) = z(K)e^{K'(K)s_{2i}s_{2i+2}}$$
(5.45)

$$\rightarrow K' = \frac{1}{2}ln(cosh(2K)) \tag{5.46}$$

$$\to z^2(K) = 4\cosh(2K) \tag{5.47}$$

$$\rightarrow f(K') = 2f(K) - lnz(K) \tag{5.48}$$

(5.49)

$$mit f(K) = \frac{ln(Z(K,N))}{N}$$

6. Stochastische Thermodynamik

6.1 Einstein

6.1.1 Schritt 1: Statische Kraft-Balance

• verdünntes Gas:

$$Kn = \nabla p = k_B T \nabla n \tag{6.1}$$

$$\to n(z) e^{\frac{-mg}{k_B T}} \tag{6.2}$$

6.1.2 Schritt2: Thermodynamik von Flüssen

• "detailed balance"

$$-j_{diff} = j_{drift} = v_{drift} n ag{6.3}$$

• Stoksches Gesetz (Homogene Bewegung):

$$v_{drift} = \frac{K}{J} \tag{6.4}$$

mit $J=6\pi\eta a$ a
: radius, η : Viskosität

• Ficksches Gesetz:

$$j_{diff} = -D\nabla n \tag{6.5}$$

$$\delta_t n = -\nabla j_{diff} \tag{6.6}$$

D: Diffusionskoeffizient

• Einstein-Sutherland-Relation:

$$D = \frac{k_B T}{J} \tag{6.7}$$

6.1.3 Schritt 3: Stochastische Thermodynamik

• Random walk: Master-equation

$$n(x,t+\tau) = \int n(x+y,t)\rho_y(\tau)dy$$
 (6.8)

(6.9)

• Konditionen für $\rho_y(\tau)$:

- Normalisiert: $\int dy \rho_y(\tau) = 1$
- Symmetrisch: detailed balance $n(x,t)\rho_{-y}(\tau)=(n(x+y,t)\rho_y(\tau)\int dy y \rho_y(\tau)=0$
- Taylor-Entwicklung:

$$n(x, t + \tau) = n(x, t) + \tau \partial_t n(x, t) \quad (6.10)$$

$$\int dy n(x+y,t)\rho_y(\tau) = n(x,t)\int dy \rho_y(\tau) + \partial_x n(x,t)\int dy y \rho_y(\tau) + \partial_{x^2} n(x,t)\int dy \frac{y^2}{2}\rho_y(\tau)$$
 (6.11)

$$\rightarrow \partial_t n(x,t) = \int dy \frac{y^2}{2\tau} \rho_y(\tau) \partial_x^2 n(x,t) = D \partial_x^2 n(x,t) \quad (6.12)$$

mit
$$D = \int dy \frac{y^2}{2\tau} \rho_y(\tau) = \frac{\langle \delta x^2 \rangle}{2\tau}$$

• Diffusionsgleichung: Lösung \rightarrow Übung

6.2 Langevin Gleichung

• Stockssche Gleichung:

$$J\dot{x} = \xi(t) \tag{6.13}$$

mit: $\langle \xi(t) \rangle = 0$ und $\langle \xi(t)\xi(t') \rangle = 2k_BTJ\delta(t-t')$

• Zeit-Translations-Invarianz:

$$\langle a(t)b(t')\rangle = \langle a(t-t')b(0)\rangle \tag{6.14}$$

• Zeit-Invarianz-Symmetrie:

$$\langle a(t)b(0)\rangle = \langle b(-t)a(0)\rangle \tag{6.15}$$

• Power-Spektrum:

$$\int_{-\infty}^{\infty} dt \langle \xi(t)\xi(0)\rangle e^{iwt} = 2Jk_BT \tag{6.16}$$

$$2Jk_BT2Dm^2 = \int_{-\infty}^{\infty} dt \langle \xi(t)\xi(0)\rangle \tag{6.17}$$

6.2.1 Fluktuation-Dissipation & Green-Kubo Relationen

• Green-Kubo Relation Reibungs-Koeffizient und Diffusionskoeffizient:

$$J = \frac{1}{2k_B T} \int_{-\infty}^{\infty} dt \langle \xi(t)\xi(0) \rangle = \frac{1}{k_B T} \int_{0}^{\infty} dt \langle \xi(t)\xi(0) \rangle$$
 (6.18)

$$D = \int_0^\infty dt \langle \dot{x}(t)\dot{x}(0)\rangle = \frac{1}{2}\partial_t \langle \delta x^2 \rangle \tag{6.19}$$

• Fluctuations-Dissipations-Theorem

$$\frac{1}{J}sgn(t-t') = \frac{1}{k_BT}\partial_{t'}\langle x(t)x(t')\rangle$$
(6.20)

$$\frac{\delta x(t)}{\delta f(t')} = \frac{\Theta(t - t')}{k_B T} \partial_{t'} \langle x(t) x(t') \rangle \tag{6.21}$$

- Lösung x und v
- average und correlation
- $\bullet\,$ harmonischer oszillator